

# Relatório do Desenvolvimento MCGA-CPTEC/INPE

- *Paulo Yoshio Kubota*
- *CPTEC, C. Paulista, Brasil*
- *17 agosto, 2015*

**O que está em  
desenvolvimento  
no MCGA-  
CPTEC?**

AGCM

Ponto-1

$p, t, u, v, q_v, q_l, q_i$

Dinâmica espectral  
Atmosférica

Ponto-2

Convecção

Microfísica

Química

Dinâmica em  
pts de Grade

Ondas  
Gravidade

Radiação

Biosfera

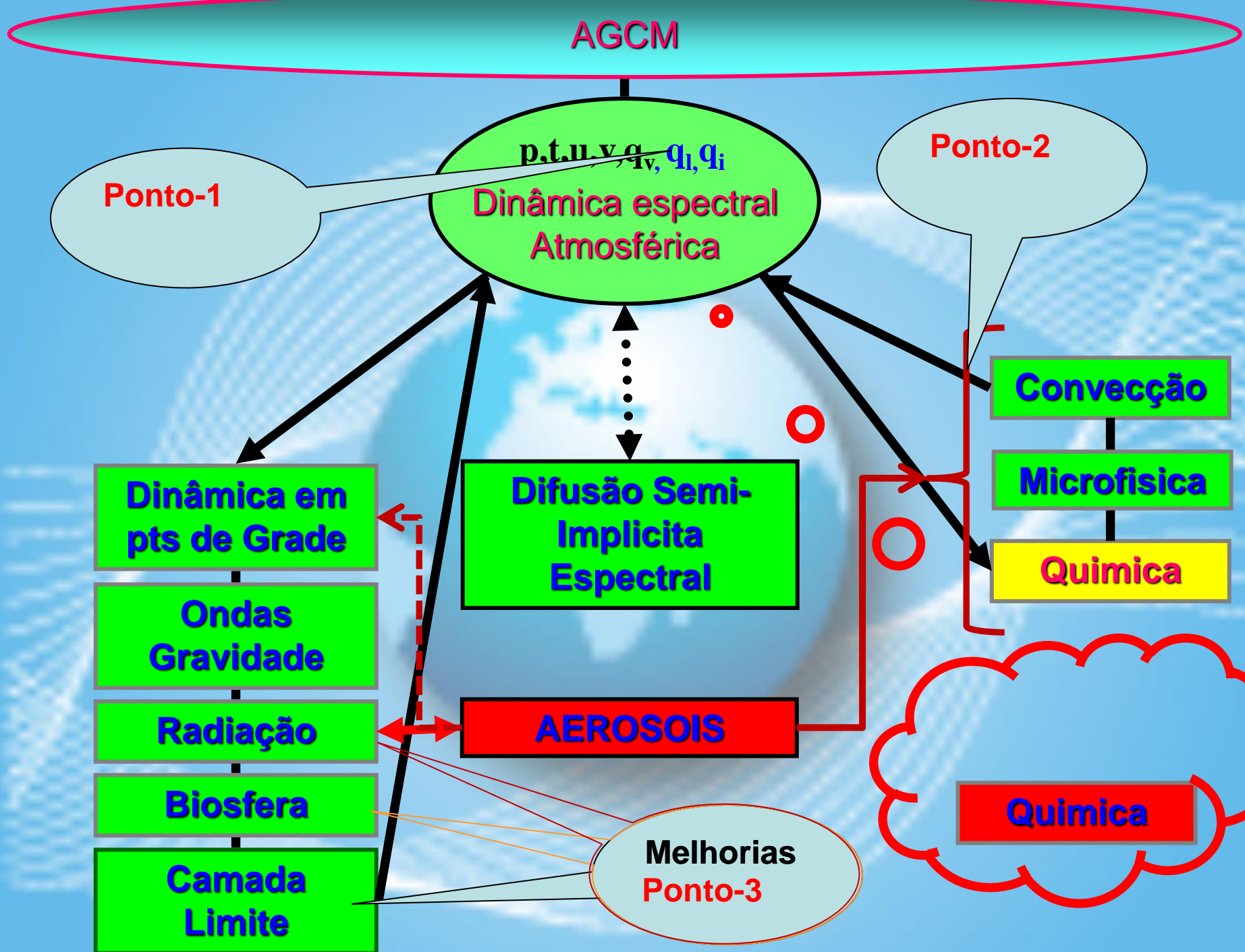
Camada  
Limite

Difusão Semi-  
Implicita  
Espectral

AEROSOIS

Melhorias  
Ponto-3

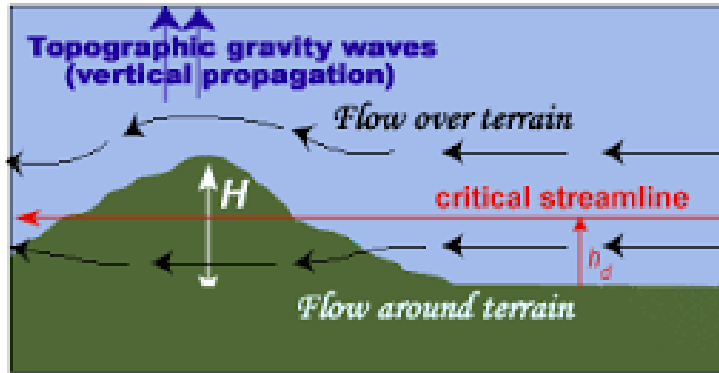
Química



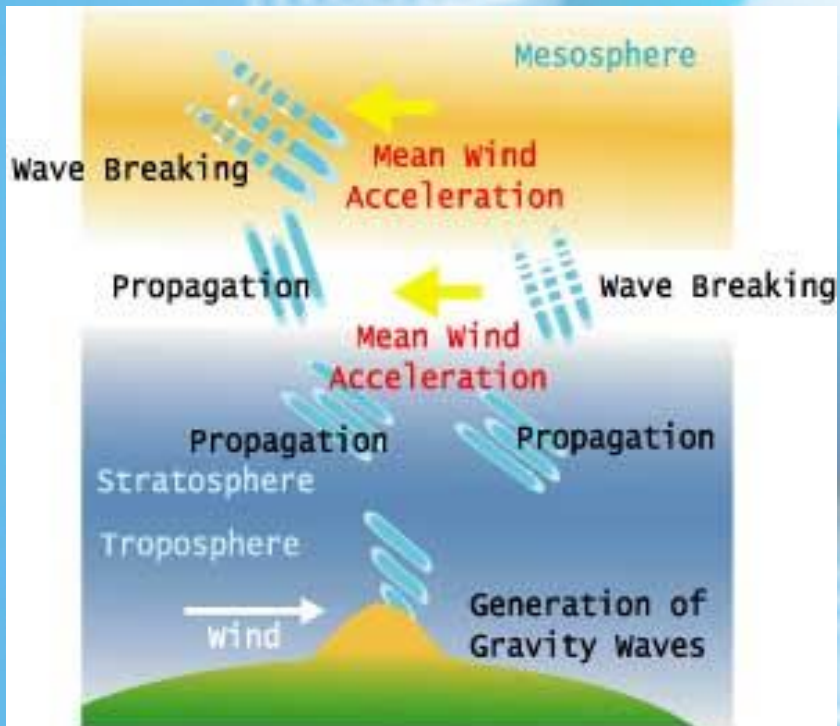


# Gravity Wave Drag

## Parameterized Sub-grid Scale Flow Over Topography



The COMET Program



# Gravity Wave Drag

Utilizado Operacionalmente no CPTEC

No Blocking

Alpert, et al. 1988

Alpert, J. C., M. Kanamitsu, J. C. Sela, G. H. White, and E. Kalnay, 1988: Mountain induced gravity wave drag parameterization in the NMC medium-range model. Preprints. Eight Conf. on Numerical Weather Prediction, Amer. Meteor. Soc., 429-432.

No Blocking

Shutts, et al. 2011

Shutts, G. J. and Vosper, S. B., 2011: Stratospheric gravity waves revealed in NWP model forecasts, Article first published online: 1 MAR 2011 DOI: 10.1002/qj.763. Quarterly Journal of the Royal Meteorological Society [Volume 137, Issue 655](#), pages 303–317, January 2011 Part B

Blocking

Kim, et al. 2005

Kim, Y.-j. and Doyle, J. D. (2005), Extension of an orographic-drag parametrization scheme to incorporate orographic anisotropy and flow blocking. Q.J.R. Meteorol. Soc., 131: 1893-1921. doi: 10.1256/qj.04.160

# Gravity Wave Drag

Ajuda pouco na redução da precipitação sobre topografias elevadas. Mas não resolve o problema.

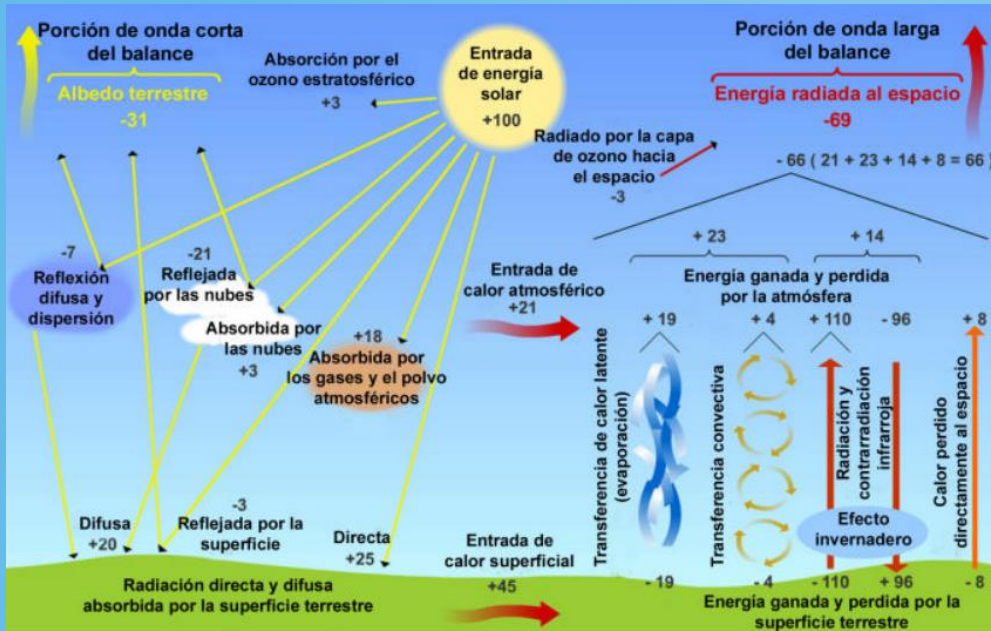
Há a necessidade de realizar mais trabalhos com estes conjuntos de parametrização.

Os desenvolvimentos ainda não estão totalmente finalizados.

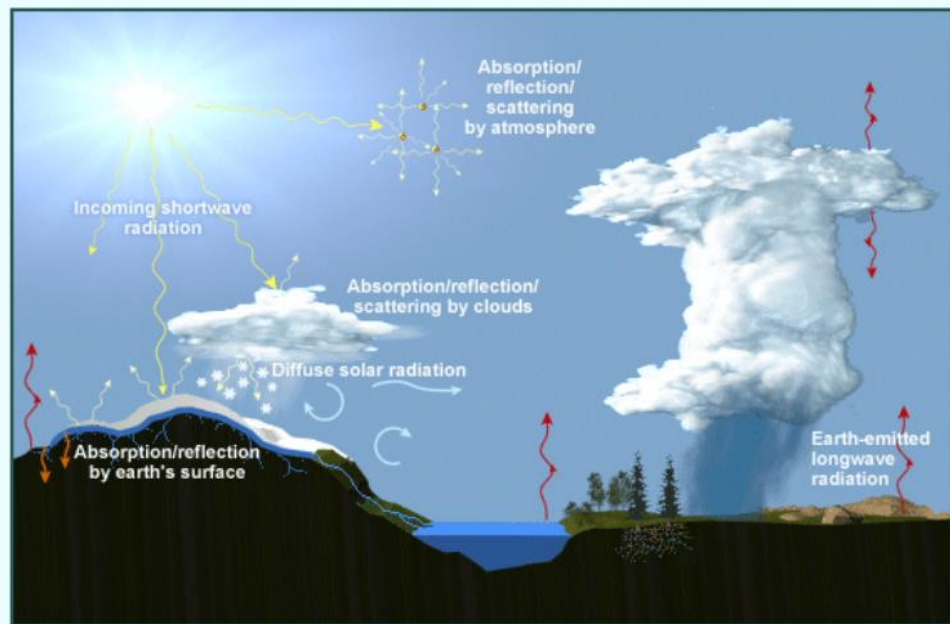
Prioridade de desenvolvimento baixa.



# Radiation



Fonte: [http://www.bioygeo.info/pdf/Balance\\_energetico\\_atmosfera.pdf](http://www.bioygeo.info/pdf/Balance_energetico_atmosfera.pdf)



# Radiation

## O que está implementada no MCGA-CPTEC?

**COLA**

Lacis A. and J. E. Hansen, 1974: A parameterization of the absorption of solar radiation in the Earth's atmosphere. *J. Atmos. Sci.*, 31, 118-133.

Harshvardhan, R. Davis, D. A. Randall, and T. G. Corsetti, 1987: A fast radiation parameterization for general circulation models. *J. Geophys. Res.*, 92, 1009-1016.

Harshvardhan, D. A. Randall, T. G. Corsetti, and D. A. Dazlich, 1989: Earth radiation budget and cloudiness simulations with a general circulation model. *J. Atmos. Sci.*, 46, 1922-1942

**CLIRAD**

Chou, M.-D., and M.J. Suarez. A solar radiation parameterization (CLIRAD-SW) for atmospheric studies. NASA Tech. Memo. 10460, Vol. 15, NASA Goddard Space Flight Center, Greenbelt, MD, 48 pp, 1999.

**CLIRADT**

Tarasova T.A., and B.A. Fomin. Solar radiation absorption due to water vapor: Advanced broadband parameterizations. *J. Appl. Meteor.*, 39, 1947-1951, 2000.

Tarasova, T.A., and B.A. Fomin, The use of new parameterization for gaseous absorption in the CLIRAD-SW solar radiation code for models. *J. of Atm. and Oceanic Technol.*, v. 24, No. 6, 1157-1162, 2007

**Usado Operacionalmente no CPTEC.**

**RRTMG**

**Já implementados. E estão sendo adaptado para a implementação de aerossóis atmosféricos.**

**UKMET**



# Radiation

[http://rtweb.aer.com/rrtm\\_frame.html](http://rtweb.aer.com/rrtm_frame.html)

**RRTMG\_LW**

**Propriedades  
Óticas de  
aerossóis**

**Aerossol**

Iacono, M.J., J.S. Delamere, E.J. Mlawer, S.A. Clough: Evaluation of upper tropospheric water vapor in the NCAR community climate model (CCM3) using modeled and observed HIRS radiances. *J. Geophys. Res.*, 108(D2), 4037, doi:10.1029/2002JD002539, 2003.

Barker, H.W., R. Pincus, and J.-J. Morcrette, The Monte-Carlo Independent Column Approximation: Application within large-scale models. *Proceedings of the GCSS/ARM Workshop on the Representation of Cloud Systems in Large-Scale Models*, May 2002, Kananaskis, Alberta, Canada, 10pp., 2003. Available on-line at: [www.met.utah.edu/skrueger/gcss-2002/Extended-Abstracts.pdf](http://www.met.utah.edu/skrueger/gcss-2002/Extended-Abstracts.pdf).

Pincus, R., H.W. Barker, and J.-J. Morcrette: A fast, flexible, approximate technique for computing radiative transfer in inhomogeneous clouds. *J. Geophys. Res.*, 108(D), 4376, doi:10.1029/2002JD003322, 2003.

Morcrette, J.-J., Impact of the radiation-transfer scheme RRTM in the ECMWF forecasting system, ECMWF Newsletter No. 91, 2001.

Iacono, M.J., E.J. Mlawer, S.A. Clough and J.-J. Morcrette: Impact of an improved longwave radiation model, RRTM, on the energy budget and thermodynamic properties of the NCAR community climate mode, CCM3. *J. Geophys. Res.*, 105, 14873-14890, 2000.

Mlawer, E.J., S.J. Taubman, P.D. Brown, M.J. Iacono and S.A. Clough: RRTM, a validated correlated-k model for the longwave. *J. Geophys. Res.*, 102, 16,663-16,682, 1997

# Radiation

[http://rtweb.aer.com/rrtm\\_frame.html](http://rtweb.aer.com/rrtm_frame.html)

**RRTMG\_SW**

**Propriedades  
Óticas de  
aerossóis**

**Aerossol**

Iacono, M.J., J.S. Delamere, E.J. Mlawer, M.W. Shephard, S.A. Clough, and W.D. Collins, Radiative forcing by long-lived greenhouse gases: Calculations with the AER radiative transfer models, *J. Geophys. Res.*, 113, D13103, doi:10.1029/2008JD009944, 2008.

Morcrette, J.-J., H.W. Barker, J.N.S. Cole, M.J. Iacono, and R. Pincus, Impact of a new radiation package, McRad, in the ECMWF Integrated Forecast System, *Mon. Wea. Rev.*, 136, 4773-4798, 2008.

Clough, S.A., M.W. Shephard, E.J. Mlawer, J.S. Delamere, M.J. Iacono, K. Cady-Pereira, S. Boukabara, P.D. Brown, Atmospheric radiative transfer modeling: a summary of the AER codes, *J. Quant. Spectrosc. Radiat. Transfer.*, 91, 233-244, 2005.

Barker, H.W., R. Pincus, and J.-J. Morcrette, The Monte-Carlo Independent Column Approximation: Application within large-scale models. *Proceedings of the GCSS/ARM Workshop on the Representation of Cloud Systems in Large-Scale Models.*, May 2002, Kananaskis, Alberta, Canada, 10pp., 2003.  
Available on-line at: [www.met.utah.edu/skrueger/gcss-2002/Extended-Abstracts.pdf](http://www.met.utah.edu/skrueger/gcss-2002/Extended-Abstracts.pdf).

Pincus, R., H.W. Barker, and J.-J. Morcrette, A fast, flexible, approximate technique for computing radiative transfer in inhomogeneous clouds. *J. Geophys. Res.*, 108(D), 4376, doi:10.1029/2002JD003322, 2003.

Oreopoulos, L., and H.W. Barker, Accounting for subgrid-scale cloud variability in a multi-layer 1-D solar radiative transfer algorithm. *Quart. J. Roy. Meteor. Soc.*, 125, 301-330, 1999.

Mlawer, E.J., S.J. Taubman, P.D. Brown, M.J. Iacono and S.A. Clough: RRTM, a validated correlated-k model for the longwave. *J. Geophys. Res.*, 102, 16,663-16,682, 1997

# Radiation

**CLIRADT**

Está sendo desenvolvido fora do CPTEC  
(Dra. *Tatiana A. Tarasova*)

[http://rtweb.aer.com/rrtm\\_frame.html](http://rtweb.aer.com/rrtm_frame.html)

**RRTMG**

Está sendo desenvolvido no CPTEC  
Diego Pereira Enore  
Paulo Kubota

**Fluxo de radiação similar ao Clirad Operacional.**

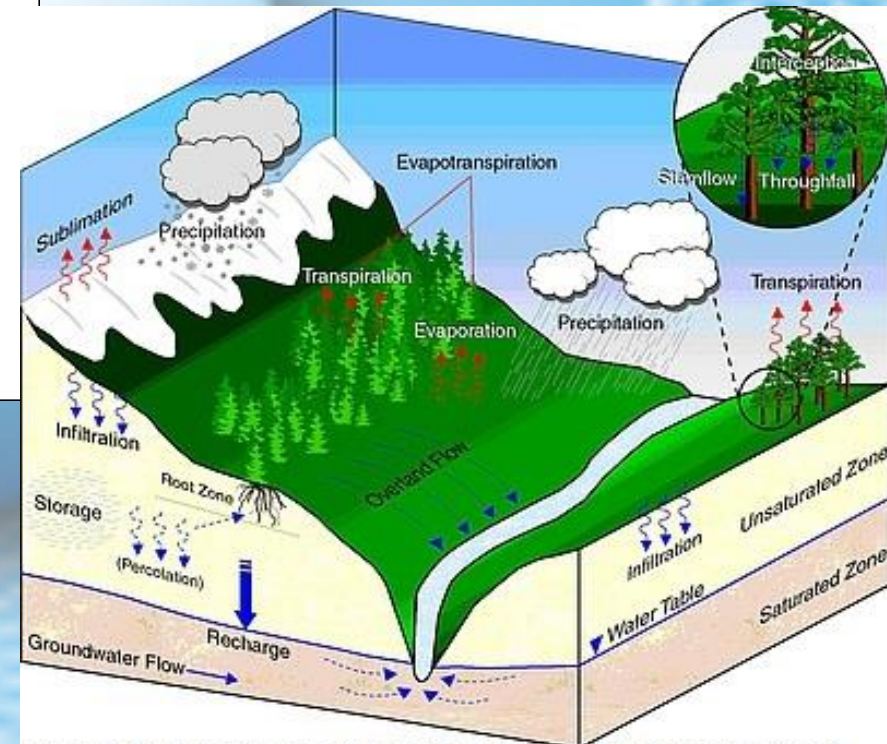
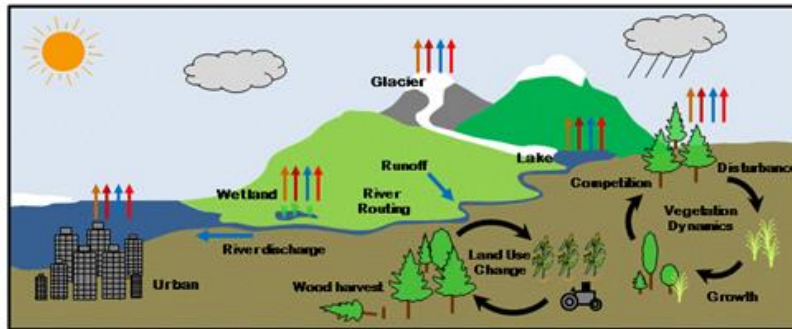
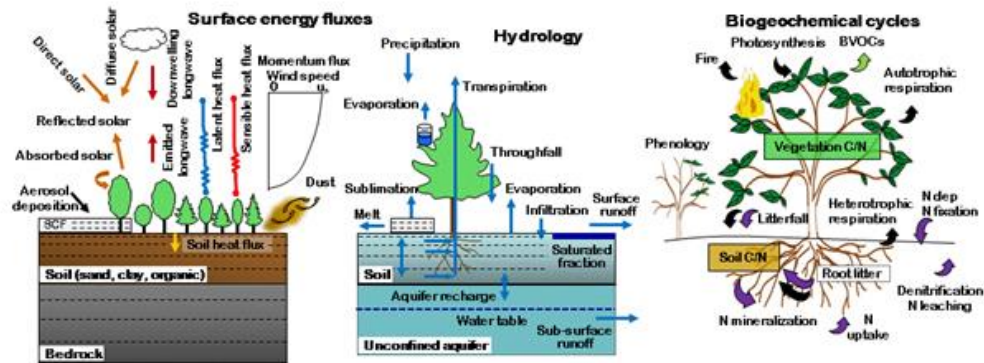
**Há a necessidade de realizar mais trabalhos com este conjunto de parametrização.**

**Adaptar a entrada de aerossóis. Etc..**

**Prioridade de desenvolvimento Alta.**



# Surface



<http://www.cesm.ucar.edu/models/clm/>

font: <http://www.geo.uni-tuebingen.de/forschung/international-research-training-group-integrated-hydrosystem-modelling.html>

# Surface

## O que está implementada no MCGA-CPTEC?

**IBIS-2.6**



Foley JA, Prentice IC, Ramankutty N et al.(1996) Na integrated biosphere Model of Land surface processes, terrestrial Carbon balance, And vegetation dynamics. *Global Biogeochemical Cycles*,10,603–628.  
Foley JA, Levis S, Prentice IC et al. (1998) Coupling dynamic models of climate and vegetation. *Global Change Biology*, 4, 561–579

**SSiB**



Xue, Y., P. J. Sellers, J. L. Kinter And J. Shukla, 1991:A Simplified Biosphere model For global climate studies. *J. Climate* , 4,345-364.

**SiB-2.5**



Sellers, P. J., Y. Mintz, Y. C. Sud, and A. Dalcher, A simple biosphere model (SiB) for use within general circulation models, *J. Atmos. Sci.*, 43, 505-531, 1986.

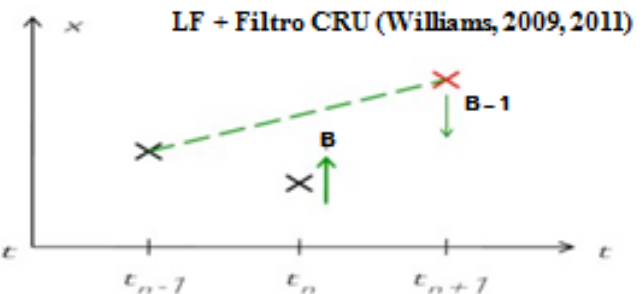
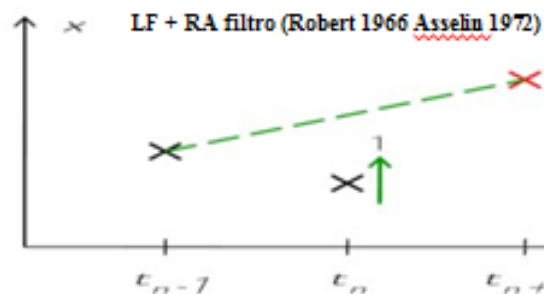
Sellers, P.J., D. A. Randall, G. J. Collatz, J. A. Berry, C. B. Field, D. A. Dazlich, C. Zhang, G. D. Collelo, L. Bounoua, A revised land surface parameterization (SiB2) for atmospheric GCMs, Part 1: Model formulation. *Jour. Clim.*, 9, 676-705, 1996a.

Sellers, P. J., S. O. Los, C. J. Tucker, C. O. Justice, D. A. Dazlich, G. J. Collatz, D. A. Randall, A revised land surface parameterization (SiB2) for atmospheric GCMs. Part 2: The generation of global fields of terrestrial biophysical parameters from satellite data. *Jour. Clim.*, 9, 706-737, 1996b.

# Surface

## O que está sendo implementada IBIS-2.6?

### O filtro RA vs RAW



● RA filtro aplica-se em

● Reduz curvatura mas não conserva a curvatura média

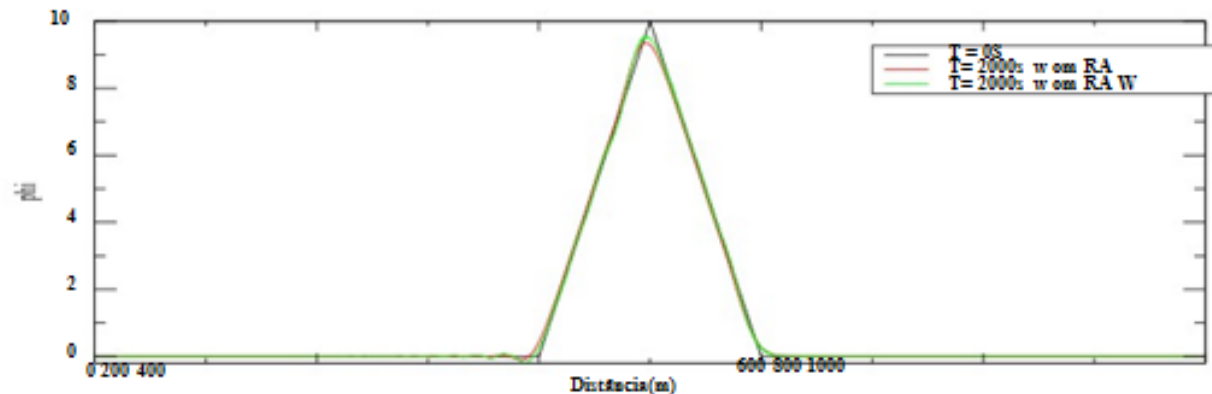
● Precisão da amplitude é 1.º ordem

● Filtro-RWA aplica-se em  $x^n$  e  $x^{n+1}$

● Reduz e ao mesmo tempo, conserva a curvatura média (para  $B = 1/2$ )

● Precisão da amplitude é  $\approx 3.ª$  ordem

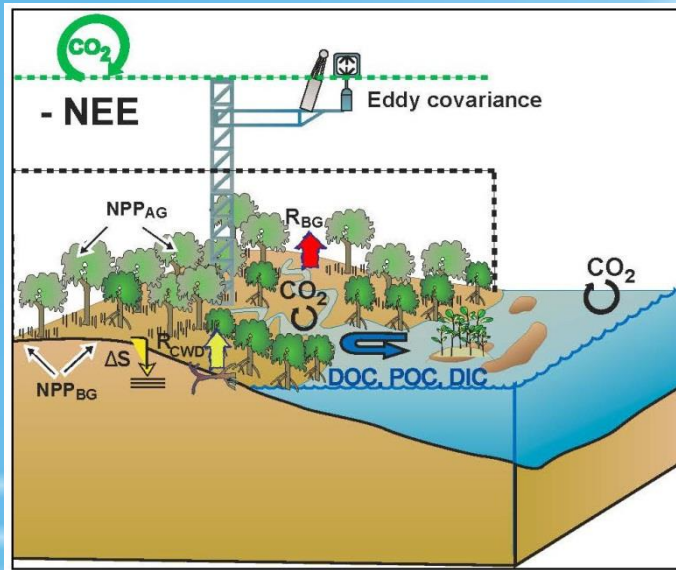
Salto com Veto RA and RAW filter social e  $dt=0,5$ ,  $\alpha=0,05$ ,  $\beta=0,6$



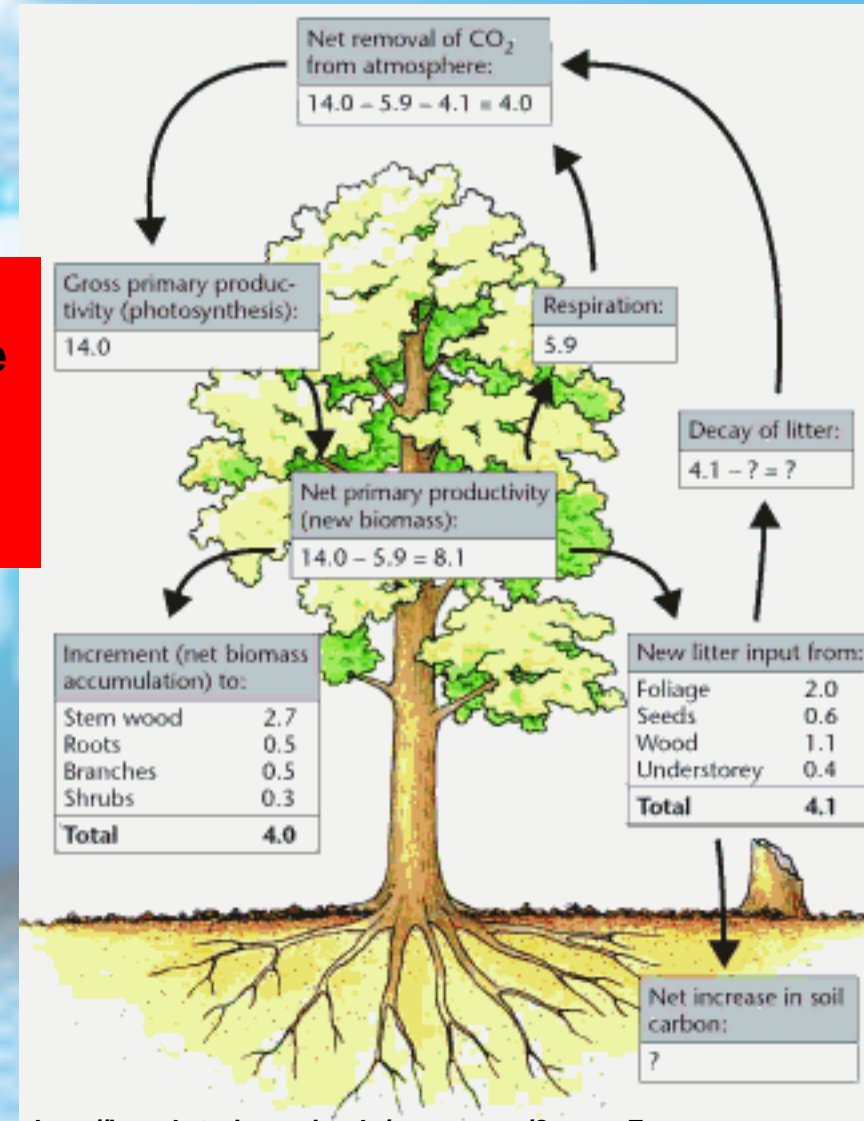
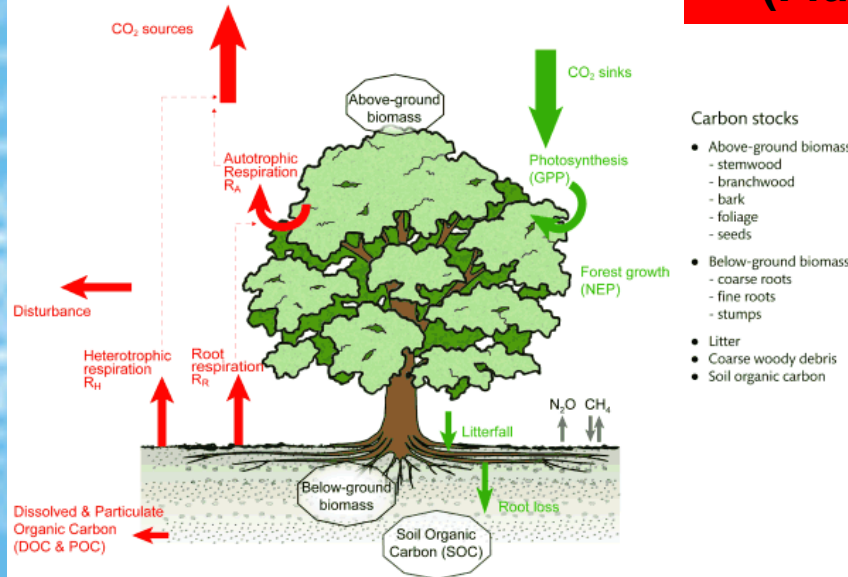


# Surface

## O que está sendo desenvolvido no IBIS-2.6?

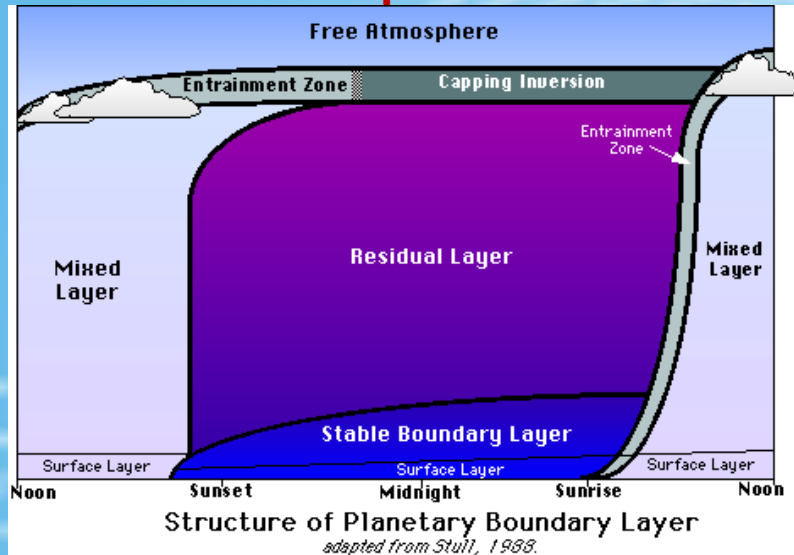


**Emissão Natural de CO<sub>2</sub> para atmosfera (Fluxo)**



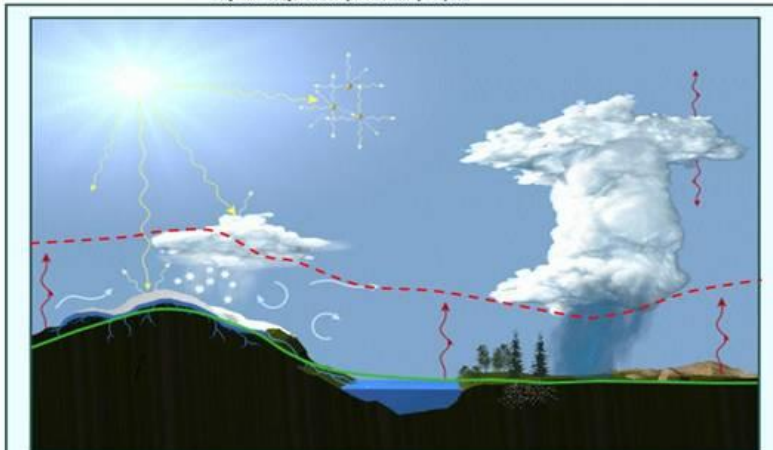
# Planetary Boundary Layer

Implementation of the parameterization of moist planetary boundary layer  
parameterization of the Washington University.

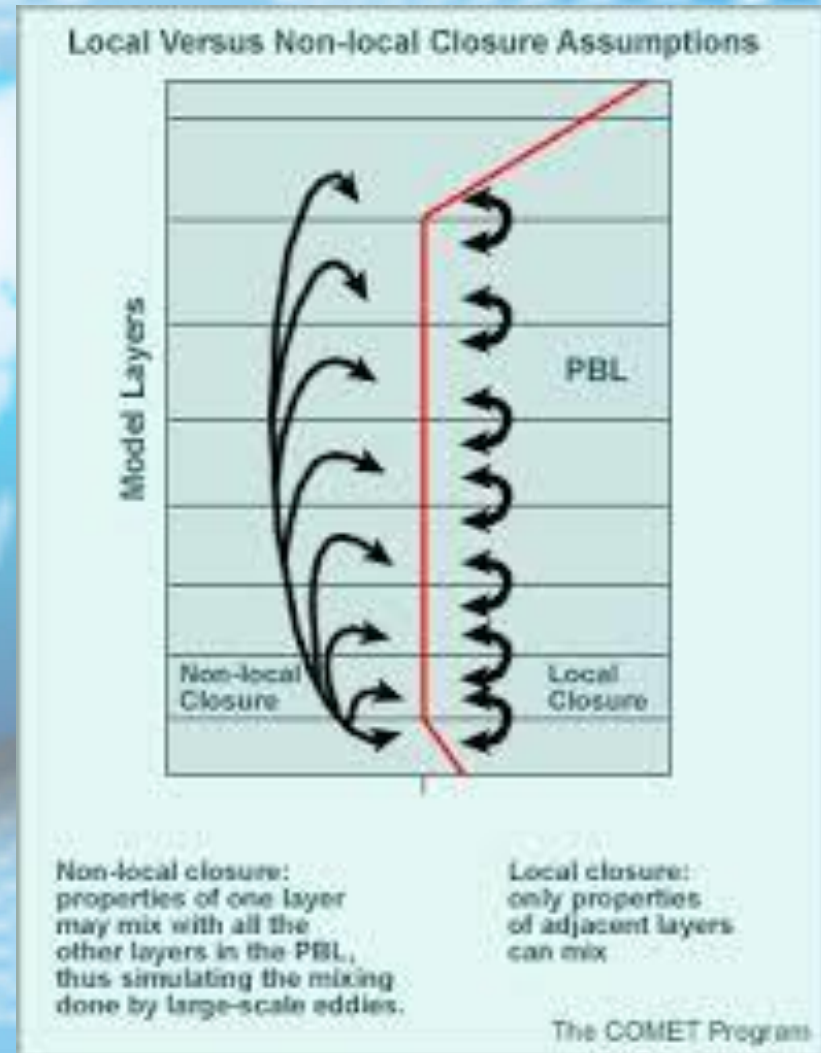


Depiction of various surfaces and PBL processes

--- Top of the planetary boundary layer



The COMET Program



# Planetary Boundary Layer

## O que está implementada no MCGA-CPTEC?

**Melor Yamada**

Mellor, G. L., and T. Yamada (1982), Development of a turbulence closure model for geophysical fluid problems, *Rev. Geophys.*, 20, 851–875, doi:10.1029/RG020i004p00851

**Holtstlag and Boville**

A. A. M. Holtstlag and B. A. Boville, 1993: Local Versus Nonlocal Boundary-Layer Diffusion in a Global Climate Model. *J. Climate*, 6, 1825–1842. doi: [http://dx.doi.org/10.1175/1520-0442\(1993\)006<1825:LVNBLD>2.0.CO;2](http://dx.doi.org/10.1175/1520-0442(1993)006<1825:LVNBLD>2.0.CO;2)

**Sungsu Park**

Bretherton, C.S., and S. Park, 2009: A new moist turbulence parameterization in the Community Atmosphere Model. *Journal of Climate*, 22, 3422–3448, DOI: [10.1175/2008JCLI2556.1](https://doi.org/10.1175/2008JCLI2556.1).



# Planetary Boundary Layer

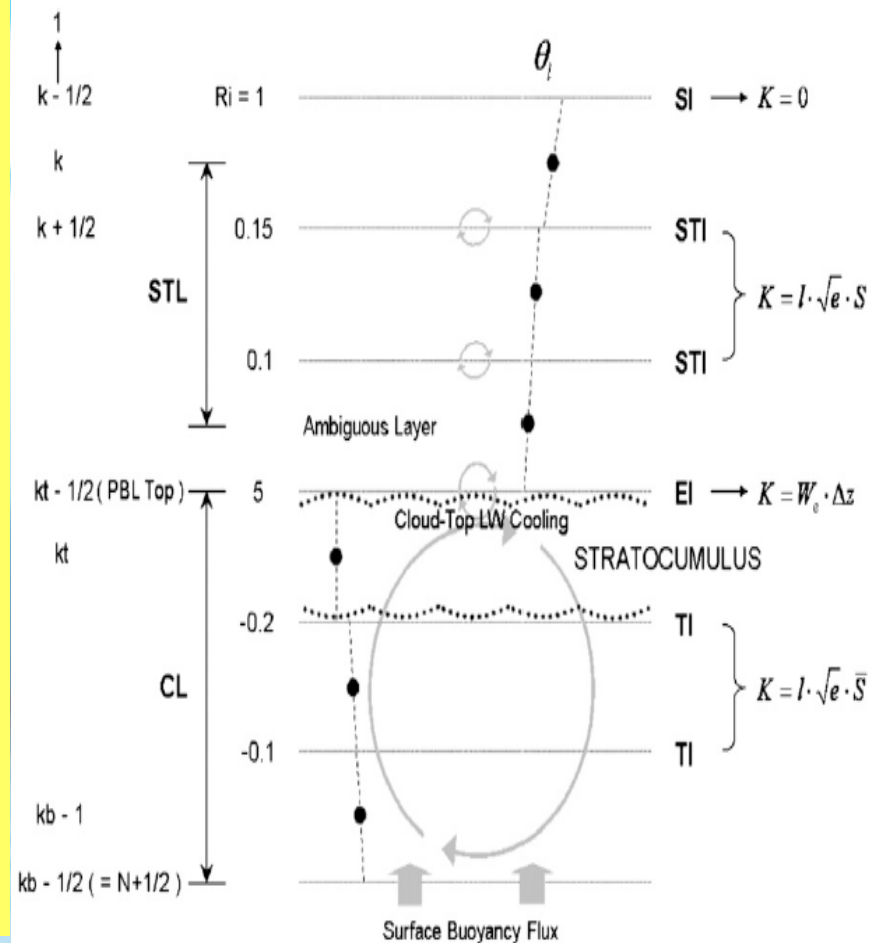
Implementation of the parameterization of moist planetary boundary layer  
parameterization of the Washington University.

Sungsu Park

As principais características do esquema incluem o uso da conservação de variáveis húmidas,

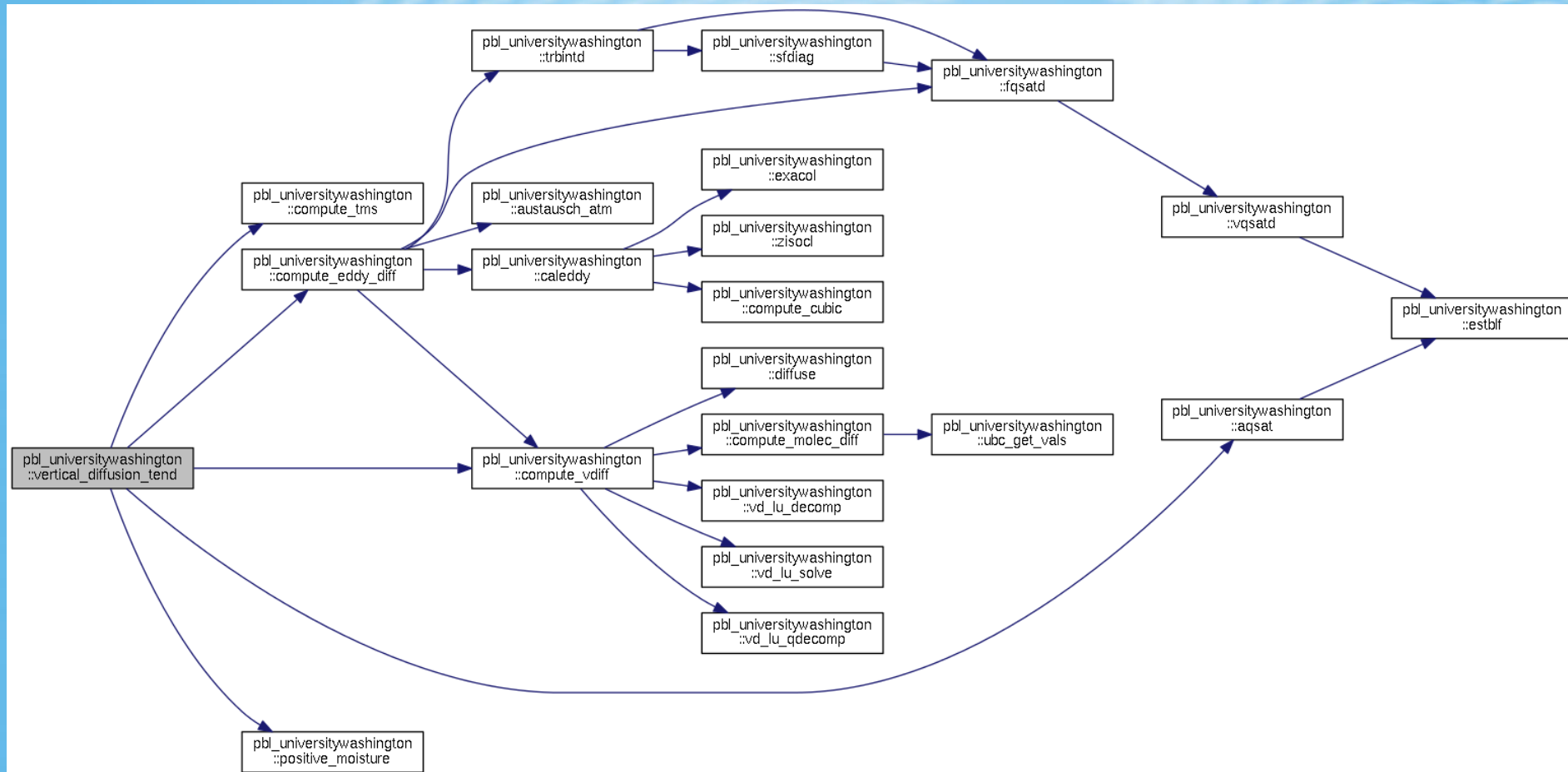
Um fechamento de entranhamento explícito para as camadas convectivas.

O diagnóstico da energia cinética turbulenta (ECT) para o cálculo dos coeficientes de difusão turbulenta. Utiliza uma nova formulação mais eficiente de transporte TKE com um relaxamento para a camada média-TKE e um tratamento unificado de todas as camadas turbulentas em cada coluna atmosférica.



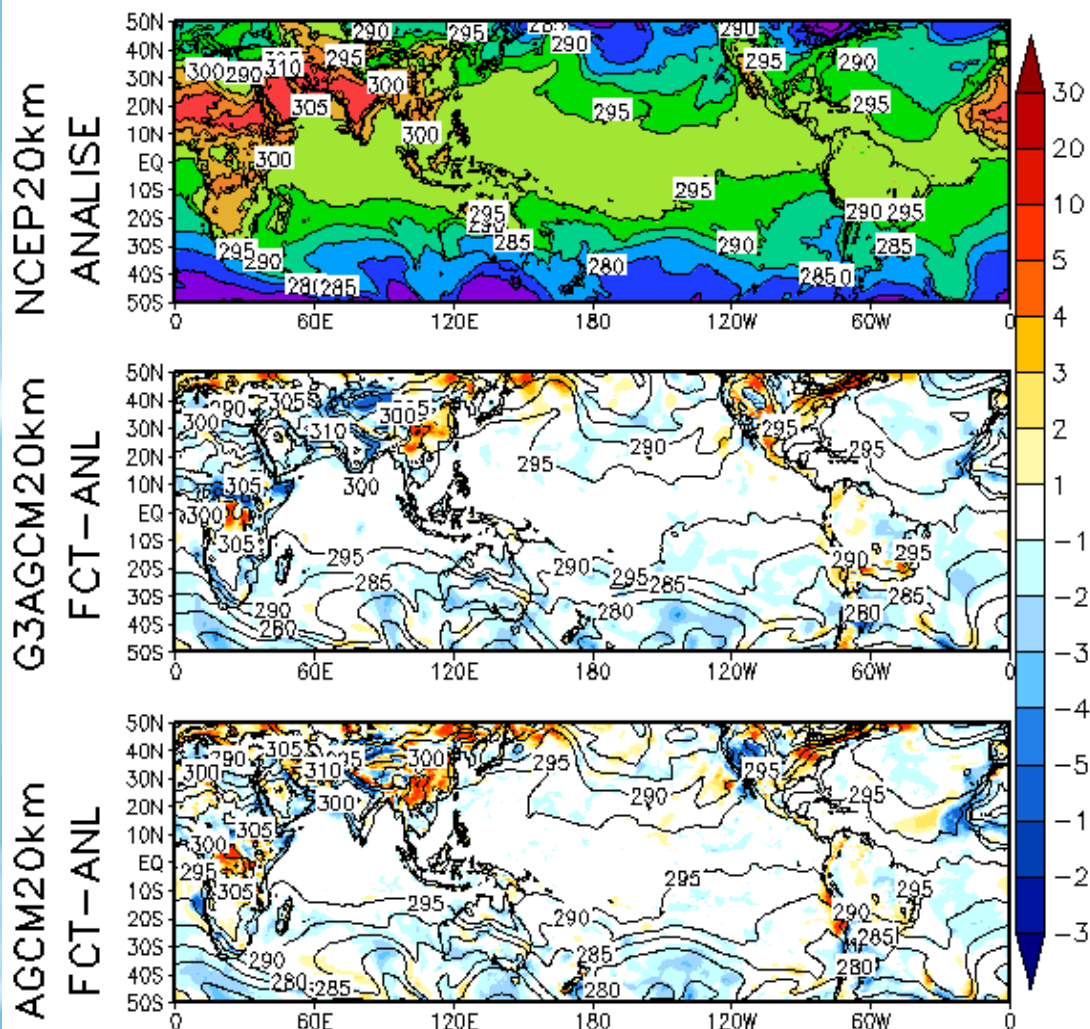
# Sungsu Park

## Implementação da Parametrização da camada limite úmida da Universidade de Washington



# Resultado da Implementação da Parametrização da camada limite úmida da Universidade de Washington e esquema de superfície (IBIS-MOD)

Condicao Inicial 12z30may2015 FCT=24h  
VirtualTemperature 12z31may2015



G3AGCM20KM

VAR	BIAS	RMSE	MSE	R
PREC	0.22	9.75	95.07	0.37
PSNM	0.19	1.48	2.20	0.98
TEMP	-0.64	1.54	2.36	0.99
UMES	-0.18	0.06	0.00	0.82
ZGEO	-9.26	13.40	179.51	0.98

AGCM20KM

VAR	BIAS	RMSE	MSE	R
PREC	-0.43	9.53	90.85	0.35
PSNM	0.26	1.50	2.25	0.98
TEMP	-0.51	1.64	2.69	0.98
UMES	-0.08	0.06	0.00	0.91
ZGEO	-12.77	15.71	246.90	0.98

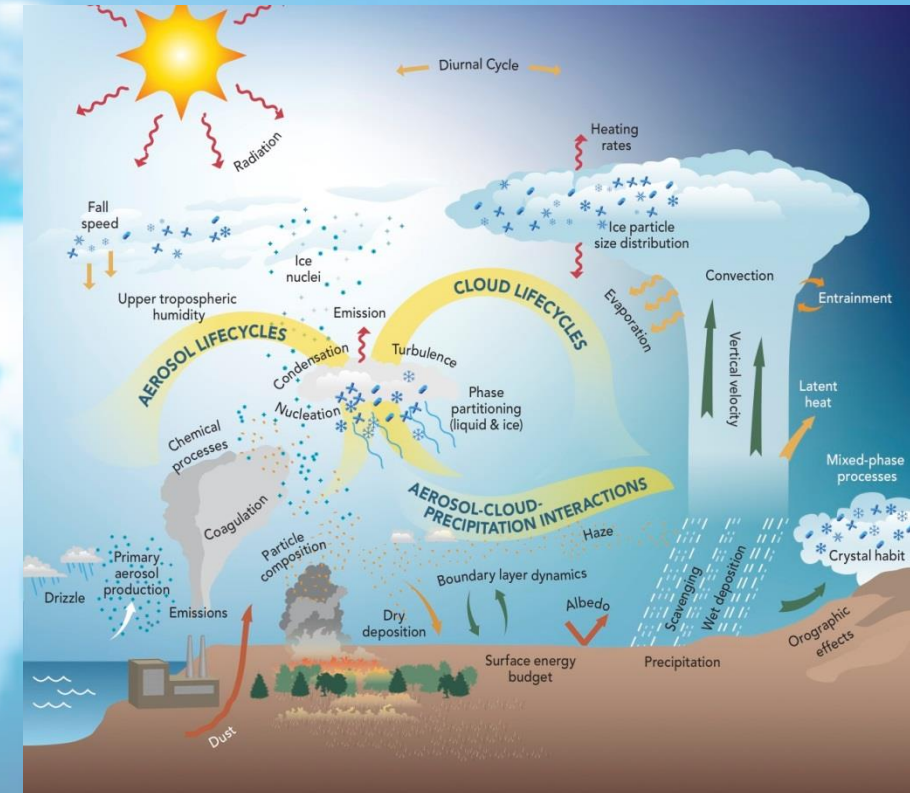
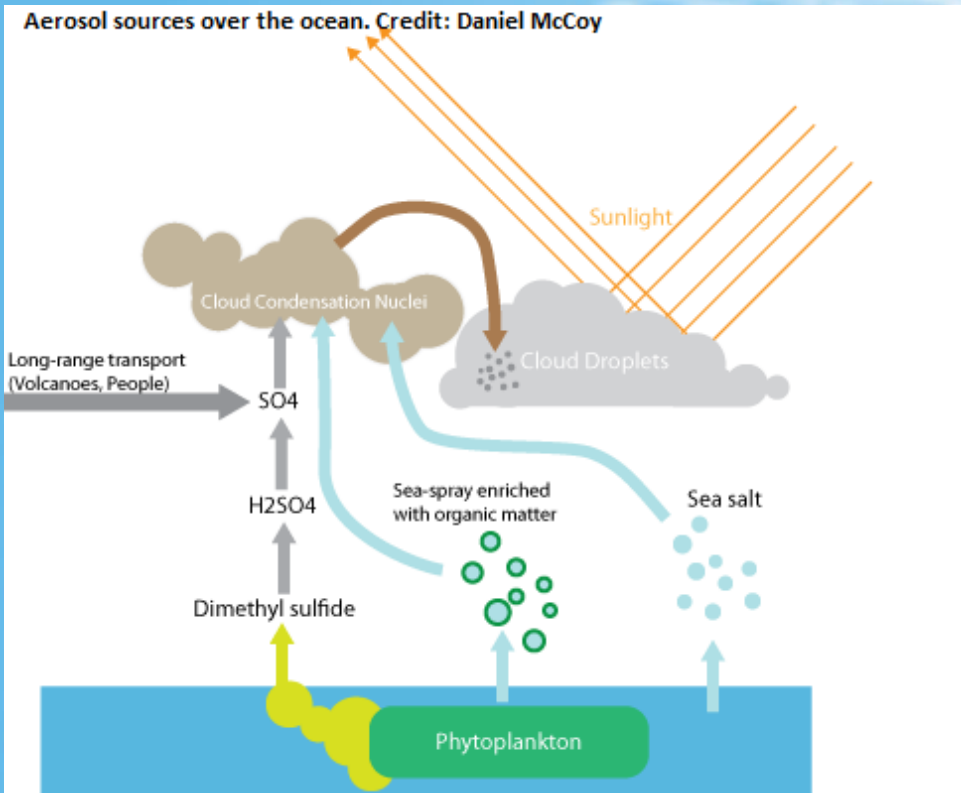
IBIS-OLD  
PBL-Seca

IBIS-MOD  
PBL-Umida



# Convection

## Convecção Profunda



**GREL**

Grell, G., and D. Dévényi, *Parameterized convection with ensemble closure/feedback assumptions*, 9th conference on Mesoscale Processes, AMS, Ft. Lauderdale, pp 12–16, 2001.

**RAS**

Arakawa, A., 1972: Design of the UCLA general circulation model. Numerical Simulation of Weather and Climate, Dept. of Meteorology, University of California, Los Angeles, Tech. Rep.7, 116 pp.

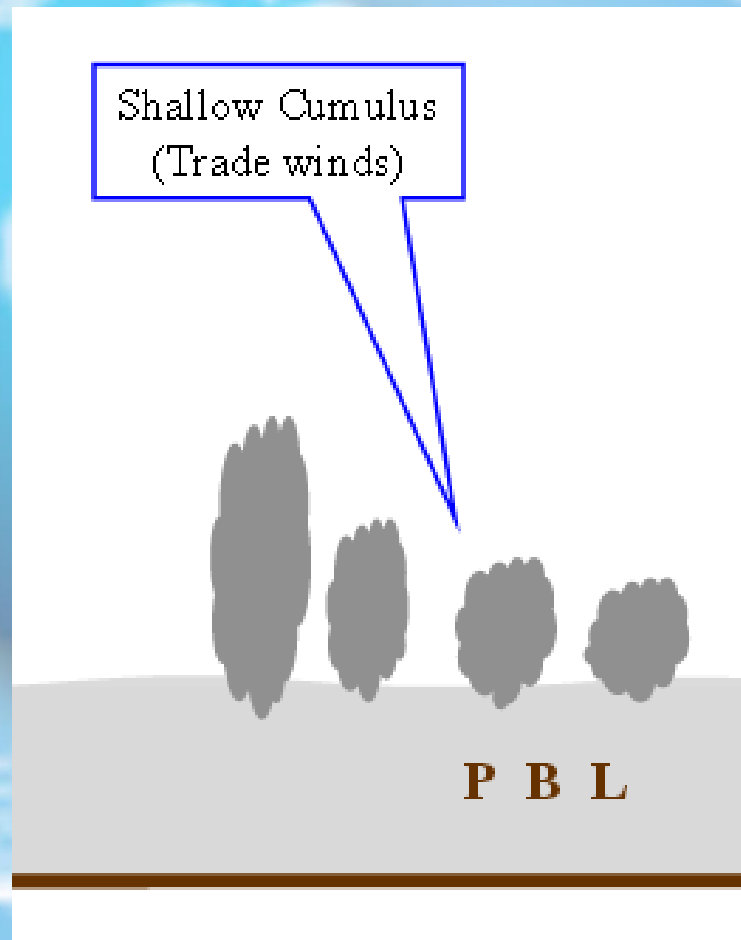
Moorthi, S., and M.J. Suarez, 1992: Relaxed Arakawa-Schubert: A parameterization of moist convection for general circulation models. *Mon. Wea.Rev.*, 120, 978–1002.

**KUO**

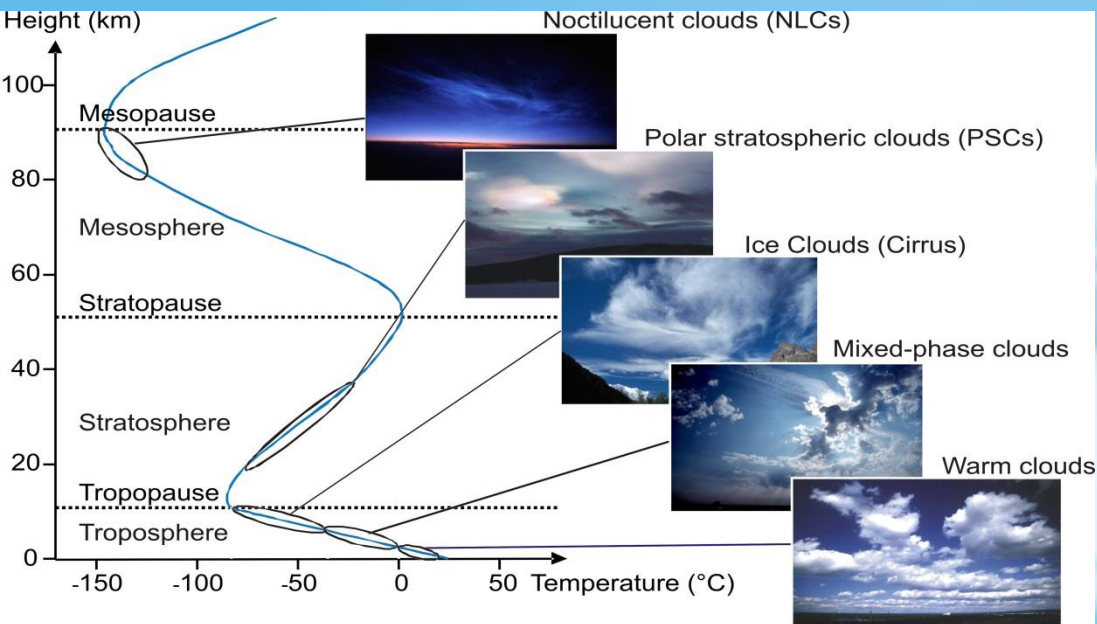
Kuo, H. L., 1974: Further studies of the parameterization of the influence of cumulus convection of large-scale flow. *J. Atmos. Sci.*, 31, 1232–1240.

# Convecção RASA

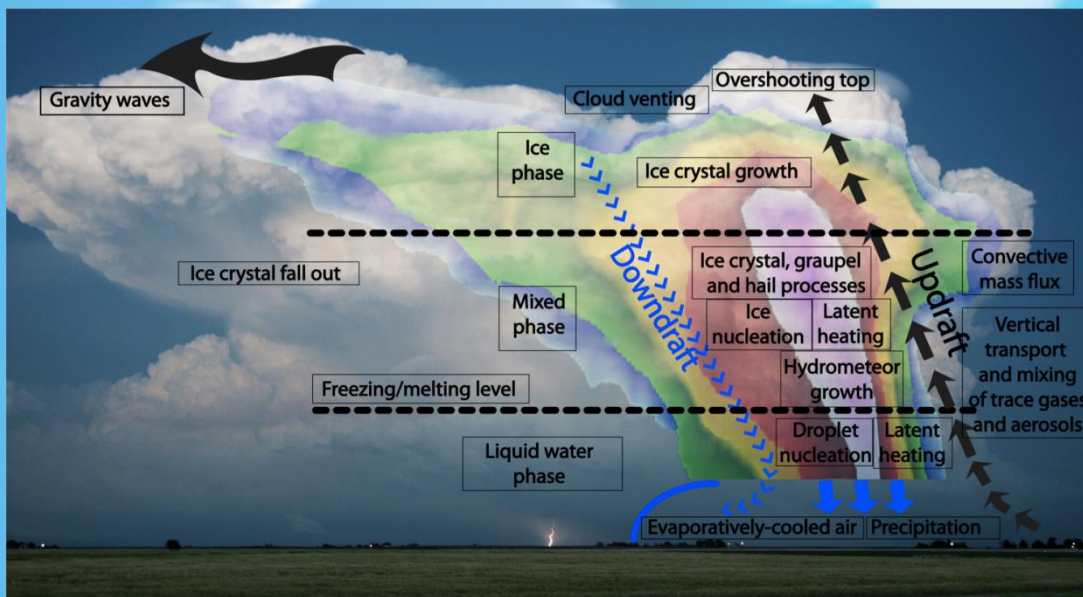
**TIEDTKE, M.(1983).** The sensitivity of the time-mean large-scale flow to cumulus convection in the ECMWF model. ECMWF Workshop on Convection in Large-Scale Models(pp. 297-316). Reading, England: European Centre for Medium-Range Weather Forecasts



# Microfisica

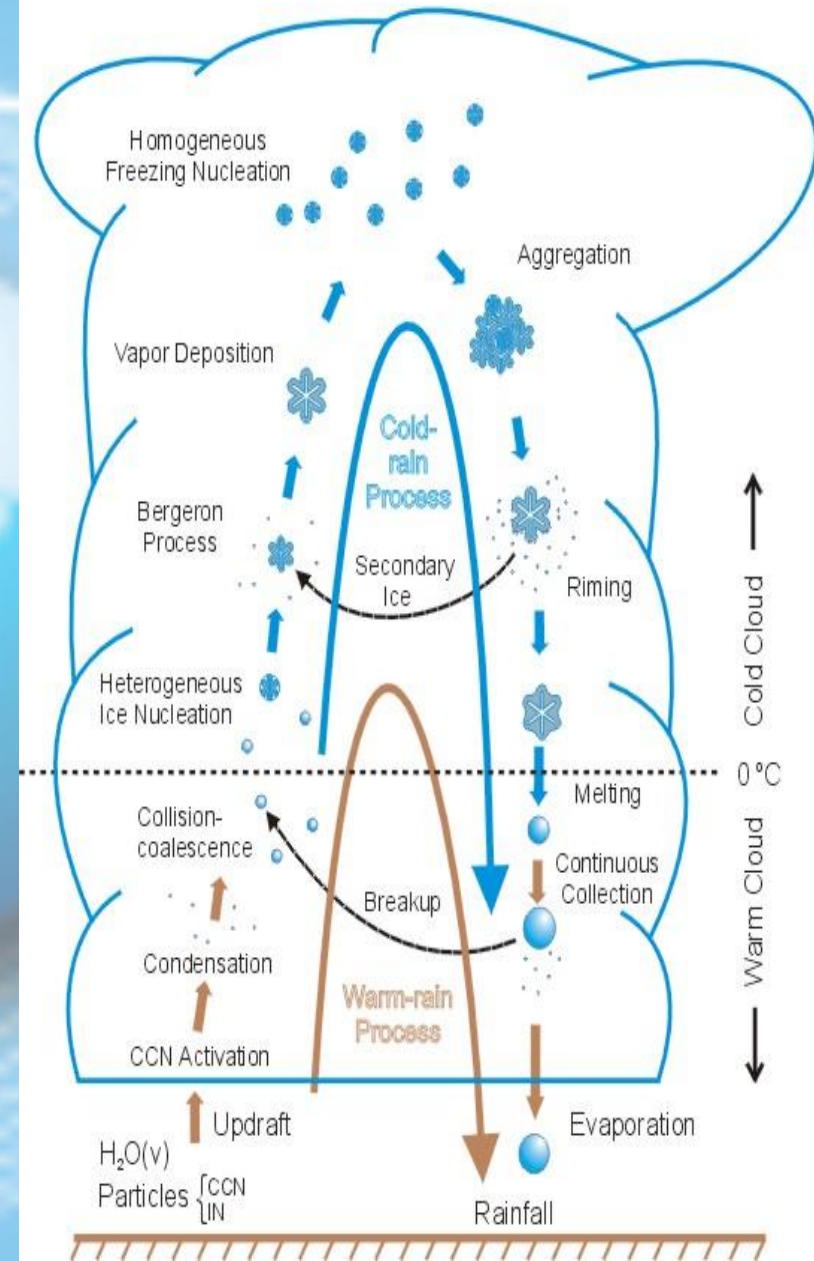


Fonte: <https://www.imk-aaf.kit.edu/415.php>



Fonte: <http://reef.atmos.colostate.edu> [ (R. Seigel and S. van den Heever 2011) ]

## PRECIPITATION MECHANISMS





# Microfisica

**MIC**

Rasch, P., and J. E. Kristjánsson, 1998: A comparison of the CCM3 model climate using diagnosed and predicted condensate parameterizations. *J. Climate*, 11, 1587–1614

**HWRF  
HGFS**

Ferrier, B. S., Tao, W. K., and Simpson, J.: A double-moment multiple-phase four-class bulk ice scheme, Part II: Simulations of convective storms in different large-scale environments and comparisons with other bulk parameterizations, *J. Atmos. Sci.*, 52, 1001–1033, 1995.

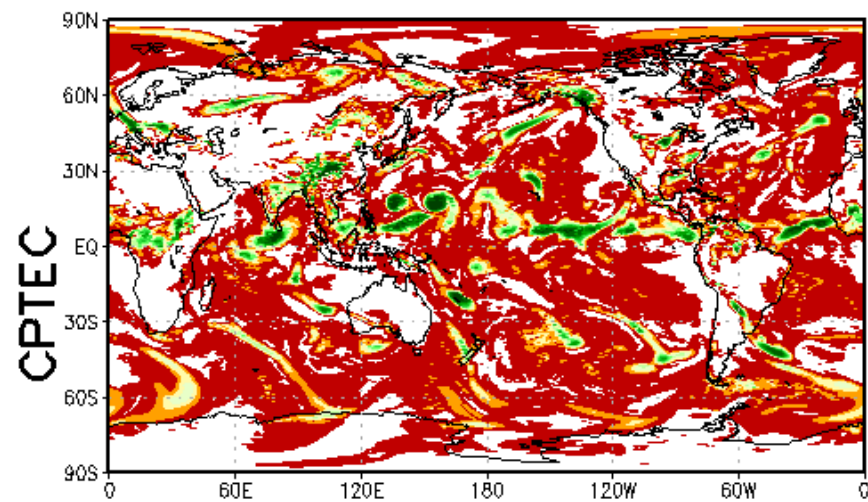
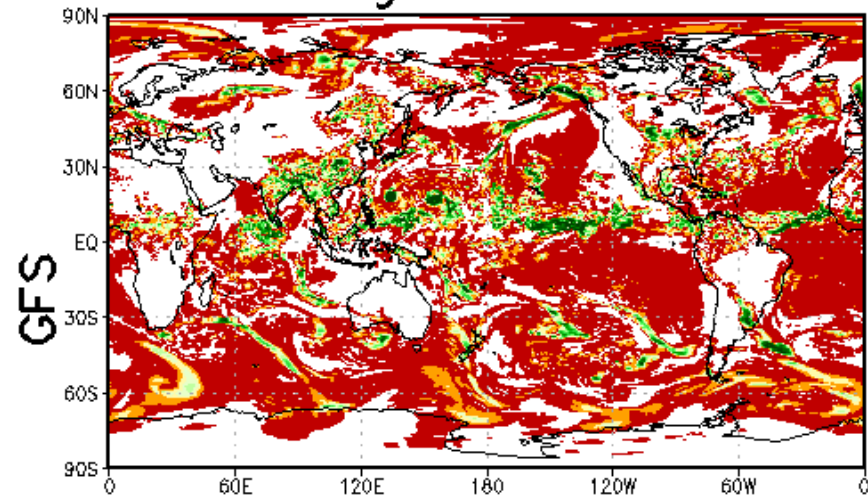
B. S. Ferrier, Y. Lin, T. Black, E. Rogers, and G. DiMego, “Implementation of a new grid-scale cloud and precipitation scheme in the NCEP Eta model,” in *Proceedings of the 15th Conference on Numerical Weather Prediction*, pp. 280–283, American Meteorological Society, San Antonio, Tex, USA, 2002

**MORR  
HUMO**

Morrison, H., J. A. Curry, and V. I. Khvorostyanov, 2005: A new double-moment microphysics parameterization for application in cloud and climate models. Part I: Description. *J. Atmos. Sci.*, 62, 1665–1677.

**UKMO**

12Z18aug2015 FCT=48hrs



# Dinâmica

## Equação de momentum

$$\frac{\partial U}{\partial t} + \frac{1}{a \cos^2 \varphi} (U \frac{\partial U}{\partial \lambda} + V \cos \varphi \frac{\partial U}{\partial \varphi}) + \dot{\sigma} \frac{\partial U}{\partial \sigma} - fV + \frac{1}{a} (\frac{\partial \Phi}{\partial \lambda} + RT \frac{\partial \ln ps}{\partial \lambda}) = F_u$$

$$\frac{\partial V}{\partial t} + \frac{1}{a \cos^2 \varphi} (U \frac{\partial V}{\partial \lambda} + V \cos \varphi \frac{\partial V}{\partial \varphi}) + \dot{\sigma} \frac{\partial V}{\partial \sigma} + fU + \frac{\cos \varphi}{a} (\frac{\partial \Phi}{\partial \varphi} + RT \frac{\partial \ln ps}{\partial \varphi}) + \frac{\sin \varphi}{a \cos^2 \varphi} (U^2 + V^2) = F_v$$

## Equação de Termodinâmica

$$\frac{\partial T}{\partial t} + \frac{1}{a \cos^2 \varphi} (U \frac{\partial T}{\partial \lambda} + V \cos \varphi \frac{\partial T}{\partial \varphi}) + \dot{\sigma} \frac{\partial T}{\partial \sigma} - \theta \dot{\sigma} \frac{\partial \Pi}{\partial \sigma} = \kappa T (\frac{\partial}{\partial t} + \vec{V} \cdot \nabla) \ln ps + F_T$$

## Equação de Umidade

$$\frac{\partial q}{\partial t} + \frac{1}{a \cos^2 \varphi} (U \frac{\partial q}{\partial \lambda} + V \cos \varphi \frac{\partial q}{\partial \varphi}) + \dot{\sigma} \frac{\partial q}{\partial \sigma} = F_q$$

## Equação de Pressão de Superfície

$$\frac{\partial \ln ps}{\partial t} + \int_0^1 (\vec{V} \cdot \nabla \ln ps) d\sigma + \int_0^1 D d\sigma = 0$$

## Equação de Hidrostática

$$\frac{\partial \phi}{\partial \sigma} + \frac{RT}{\sigma} = 0$$

## Equação de Velocidade Vertical

$$\sigma \frac{\partial ps}{\partial t} + \int_0^\sigma \nabla \cdot (ps \vec{V}) d\sigma = -ps \dot{\sigma}$$

Variables:

$$U = u \cos \varphi, V = v \cos \varphi, \vec{V} = (U, V)$$

$T$  - virtual temperature,  $\theta$  - potential temperature,  $T = \Pi \theta$   
 $ps$  - surface pressure,  $\sigma = p/ps$  - vertical coordinate,  $\dot{\sigma}$  - vertical velocity,  
 $f$  - Coriolis,  $q$  - specific humidity,  $D$  - horizontal divergence.  $F_u$ ,  $F_v$ ,  $F_T$  and  $F_q$  are forcing terms due to the physical parameterization processes.



# Dinâmica

## As Variáveis Prognósticas

**D – Campo de Divergência**

**$\xi$  - Campo de Vorticidade**

**As velocidades U e V serão derivadas de  $\xi$  e D.**

**T – temperatura Virtual**

**Q – Umidade específica**

**Ln ps – log da pressão de superfície**

**Será armazenado no espaço espectral . Em cada nível k, nós armazenaremos os coeficientes  $F_n^m$  de uma expansão tal como:**

$$F(\lambda, \varphi) = \sum_{m=-M}^M \sum_{n=|m|}^M F_n^m P_n^m(\sin \varphi) e^{im\lambda}$$

**Onde, é utilizado um truncamento triangular para cada campo prognostico**

# Dinâmica

## Problemas

```
330 !VaryMWithLat: Implements Courtier-Naughton criteria for computing
331 ! wave number per latitude in the reduced grid.
332 ! Internal module procedure
333
334 SUBROUTINE VaryMWithLat(Pmn, W, mPerLat)
335   REAL(KIND=r8), INTENT(IN) :: W(jMax) ! Gaussian Weights
336   REAL(KIND=r8), INTENT(IN) :: Pmn(jMaxHalf, mnExtMax) ! AssocLegFunc
337   INTEGER, INTENT(OUT) :: mPerLat(jMax) ! Waves per latitude
338   REAL(KIND=r8) :: Partial(nExtMax, mnExtMax)
339   INTEGER :: j, m, n, nPrime, mn, mnPrime
340   REAL(KIND=r8) :: erroMax, wj
341   REAL(KIND=r8), PARAMETER :: acceptable=1.0e-12_r8 ! orthogonality acceptabl
342
343
344   ! At a given latitude j, Partial contains the partial summations from
345   ! North Pole up to j that are the contribution of this
346   ! set of latitudes to the orthogonality of Associated Legendre Functions
347   ! of Legendre Degree nPrime and Legendre Order m with respect to all
348   ! Associated Legendre Functions with same Order. While this contribution
349   ! is less than a fixed acceptable error, that particular Order is not
350   ! required for that latitude. (Courier-Naughton criteria)
351
352   Partial = 0.0_r8
353   DO j = 1, jMaxHalf
354     wj = W(j)
355     DO m = mMax, 1, -1
356       DO n = m, nExtMax
357         mn = mnExtMap(m,n)
358         DO nPrime = n, nExtMax
359           mnPrime = mnExtMap(m,nPrime)
360           Partial(nPrime,mn) = Partial(nPrime,mn) + &
361             Pmn(j,mn)*Pmn(j,mnPrime)*Wj
362         END DO
363       END DO
364       erroMax = 0.0_r8
365       DO n = m, nExtMax
366         mn = mnExtMap(m,n)
367         erroMax = Max(erroMax, MAXVAL(ABS(Partial(n;nExtMax,mn))))
368       END DO
369       IF (erroMax > acceptable) THEN
370         mPerLat(j) = MIN(mMax, m+1)
371         EXIT
372       END IF
373     END DO
374   END DO
375   mPerLat(jMaxHalf+1:jMax)=mPerLat(jMaxHalf:1;-1)
376 END SUBROUTINE VaryMWithLat
```

**mMax = trunc + 1**

**nMax = mMax**

**nExtMax = mMax + 1**

**mnExtMax = (nExtMax+2)\*(nExtMax-1)/2**

**! any MPI process has at most mnMaxLocal mn's (may have less) and**  
**! at most mnExtMaxLocal mnExt's (may have less).**  
**! mnMaxLocal and mnExtMaxLocal are used to**  
**!dimension arrays over all MPI processes**

**mnMaxLocal = MAXVAL(mnsPerProc)**

**mnExtMaxLocal = MAXVAL(mnsExtPerProc)**

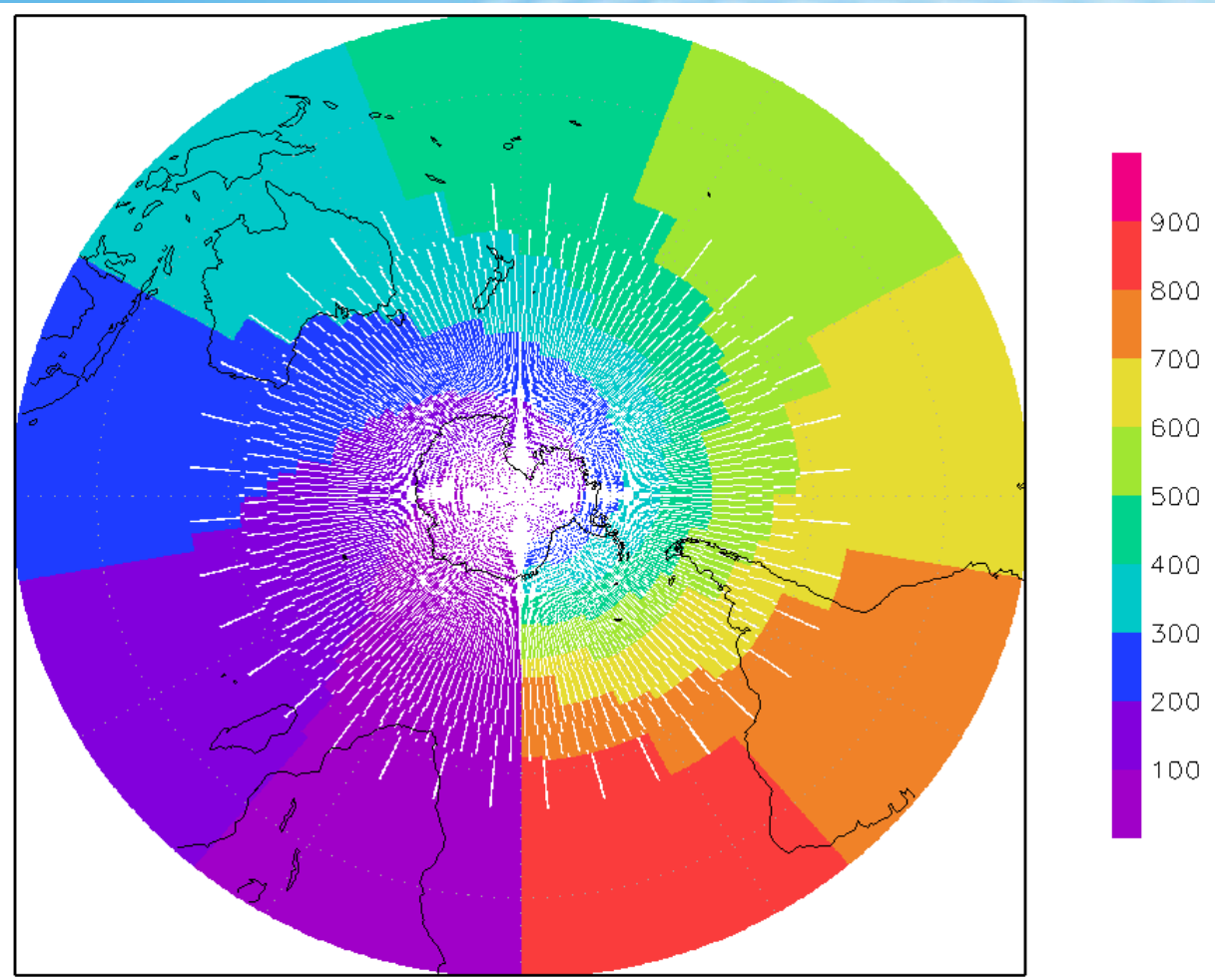
**! myMNMax: scalar containing how many mn's at this**  
**!MPI process**

**! myMNextMax: scalar containing how many mnExt's**  
**!at this MPI process**

**myMNMax = mnsPerProc(myId\_four)**

**myMNextMax = mnsExtPerProc(myId\_four)**

**Problemas de Alocação de Memórias para  
a Configuração de grade reduzida na  
resolução TQ1332L64 (~10km) [**Alteração  
no Algoritmo**]**



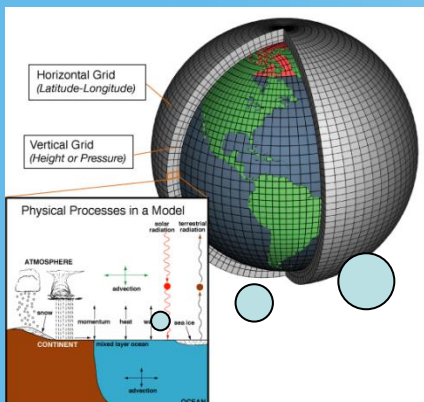
**Figura 2 Distribuição dos pontos de malha em uma malha reduzida da resolução TQ0299L064.**



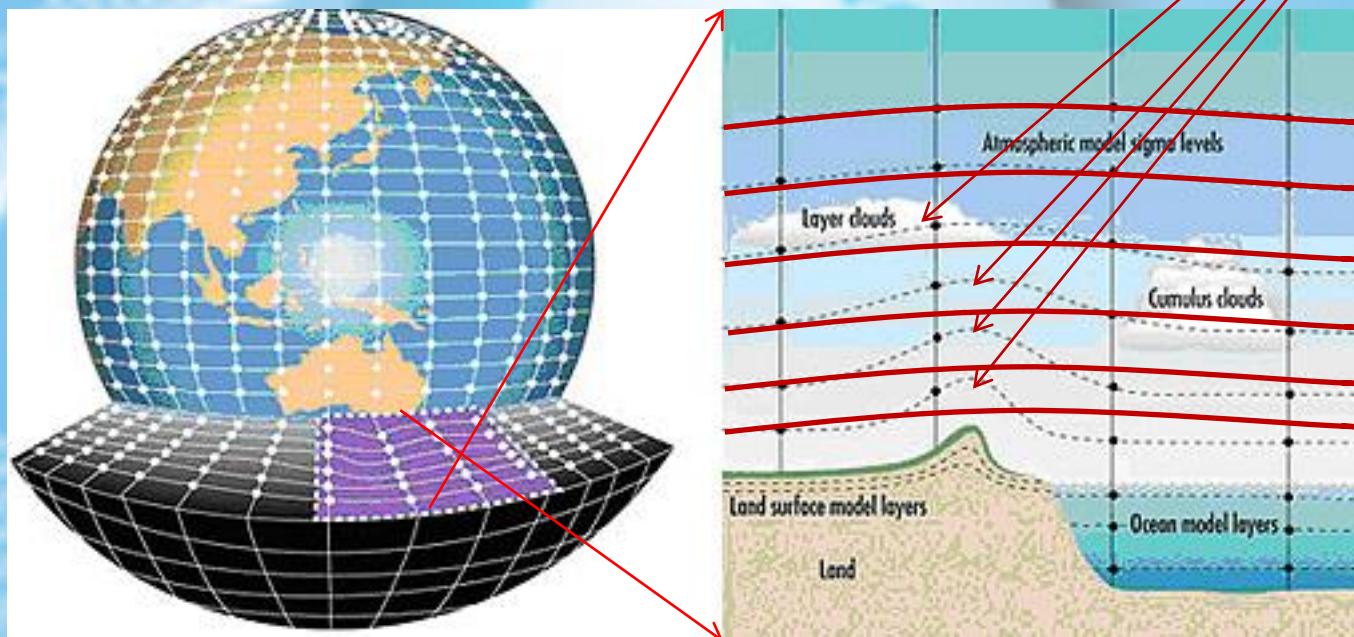
# Implementação da coordenada híbrida sigma-pressão [ efeito da topografia sobre a convecção]

Restruturação das parametrizações física para utilizar a coordenada híbrida

Pode gerar falsa precipitação



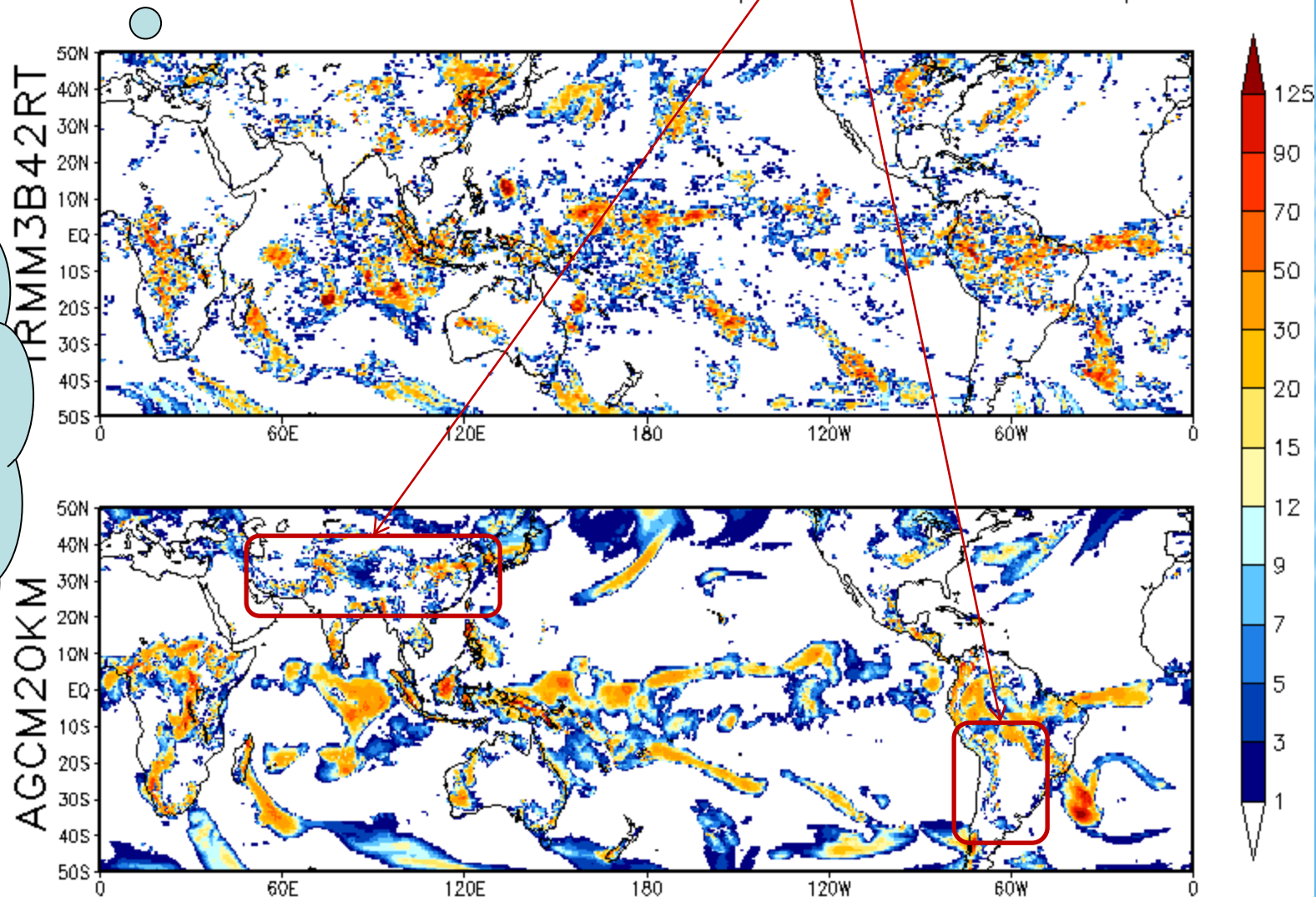
Fonte: <http://upload.wikimedia.org/wikipedia/commons/7/73/AtmosphericModelSchematic.png>



Fonte: <http://www.dpi.nsw.gov.au/research/topics/climate-change/projects-modelling>

## Efeito da topografia e níveis sigma sobre a precipitação

Condição Inicial 12z28mar2015 FCT=120h  
Período acumulado 18z01apr2015–12z02apr2015



Cood. Híbrida  
Irá melhorar

# Configuração do MCGA-CPTEC/INPE

## Desafios: operacionalizar o modelo TQ1332L64(~10 km)

Opcções	Descrição (OPERACIONAL TQ299L64)	Descrição (EXPERIMENTAL TQ1332L64)
Dinâmica	Euleriana com grade Reduzida	Semi-Lagrangiano com grade Reduzida
Radiação de onda Curta	CLIRAD	RRTMG
Radiação de onda Longa	HASHVANADAN(1987)	RRTMG
Camada Limite	Hostlag e Boville modificado (MY)(1992)	PBL UMIDA
Esquema de Superfície	IBIS(1996)	IBIS(1996)
Convecção Profunda	GRELL(1993)	GRELL-NILO
Convecção Rasa	TIEDKE(1983)	TIEDKE(1983)
P. de Larga escala	Microfísica (Rasch and Kristjánsson (1998) )	Microfísica (Morrison )
Onda de Gravidade	ALPERT(1988)	ALPERT(1988)



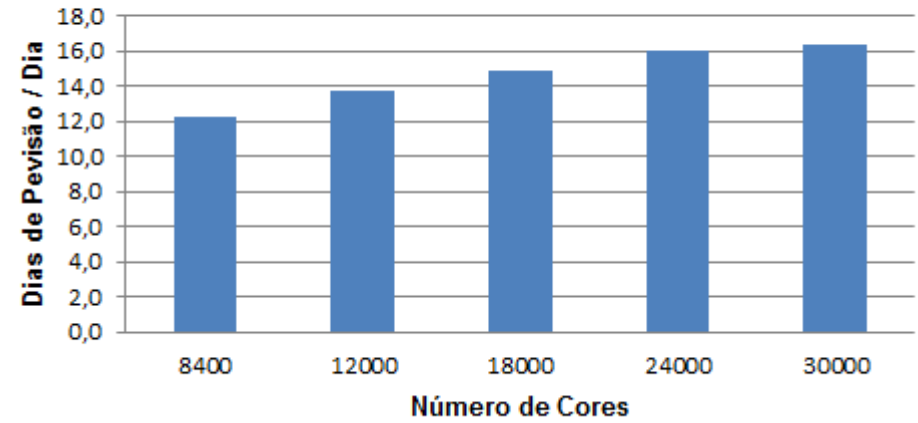
# Os números do supercomputador Cray-XE6

CPU's	1280 nós, cada nó com 2 Opteron 12 núcleos de 2,1GHz, cada nó com velocidade máxima de 201,6 GFlop/s, 32 GB de memória e rede SeaStar2, totalizando 30720 cores
Desempenho	Máximo: 258 TFlop/s Efetivo: 205 TFlop/s no Linpack
Disco primário	Sistema de arquivos com 866 TB líquidos, acessíveis à 320 Gbs
Armazenamento Secundário	3,84 Petabytes (PB) em discos SATA, biblioteca de fitas com 8.000 slots com 8.000 fitas LTO4, 6 PB de fitas
Processamento Auxiliar	20 nós, cada nó com 4 Opteron 4 core de 2,7 GHz, 128 GB de memória com desempenho SPECfp_rate_base2006 agregado de 3760
Acesso Interativo	13 nós, cada nó com 4 Opteron 4 core de 2,7 GHz, 128 GB de memória com desempenho SPECfp_rate_base2006 agregado de 2444
Espaço físico, energia e refrigeração	Ocupa 100 m <sup>2</sup> , requer 639 Kw de energia, refrigerado a ar com dissipação máxima de 550.000 Kcal/h, com portas contendo dissipadores refrigerados a água

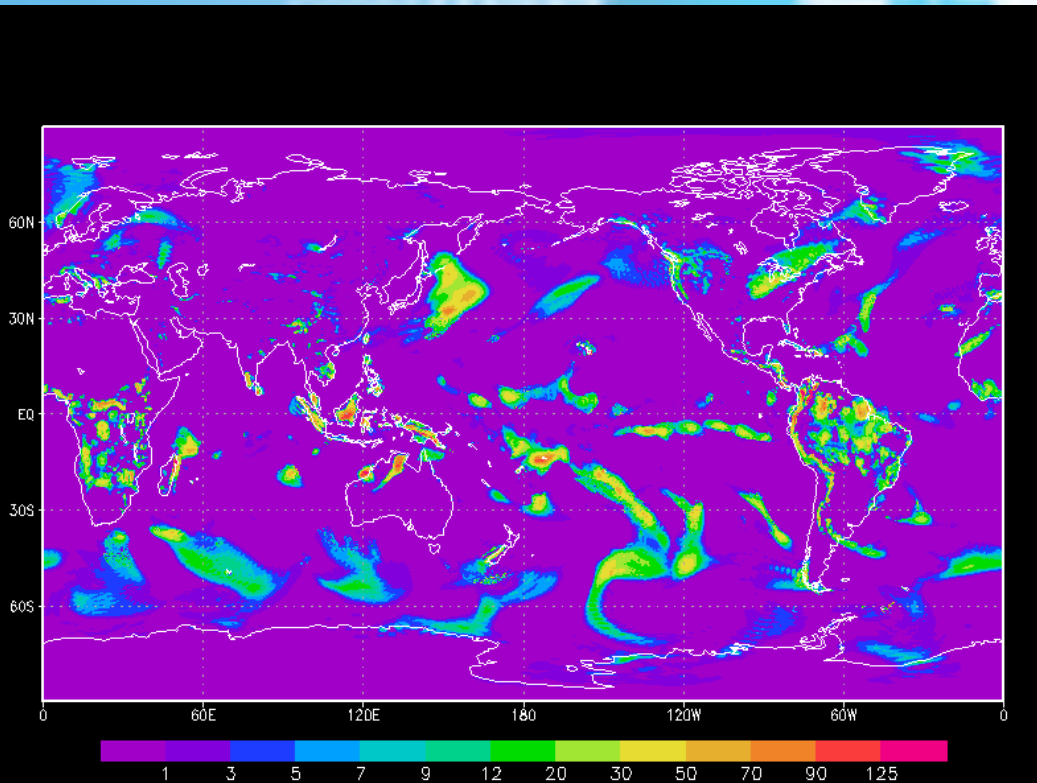
Processos MPI	Threads OpenMP/MPI	Número de Nós	Número de Core	Período de Integração	Tempo de CPU
1400	6	350	8400	24 horas	1,962 horas
2000	6	500	12000	24 horas	1,745 horas
3000	6	750	18000	24 horas	1,613 horas
4000	6	1000	24000	24 horas	1,494 horas
5000	6	1250	30000	24 horas	1,468 horas



# MCGA-CPTEC/INPE TQ1332L64 ~10km em Cray-XE6



TQ1332L64(~10 km)





**Muito Obrigado  
pela Atenção**
























# **Desempenho Computacional**

Table 1: Profile by Function Group and Function

Time%	Time	Imb. Time	Imb. Time%	Calls	Group Function PE=HIDE Thread=HIDE
100.0%	658.256547	--	--	7997569.5	Total
75.6%	497.506558	--	--	7532901.3	USER
19.4%	127.763015	4.385194	3.3%	1320.2	transform_spectofour_
19.2%	126.270011	83.010881	40.0%	661.0	modtimestep_timestep_
10.6%	69.748234	69.479808	50.3%	2856.6	rrtmg_sw_spcvmc_spcvmc_sw_
5.6%	36.960482	5.694902	13.5%	658.0	semilagrangian_semilagr_
3.1%	20.386691	4.093877	16.9%	658.0	communications_exchange_fields_
2.2%	14.293395	15.969601	53.2%	1320.0	transform_depositgrid_
1.6%	10.314310	6.480043	38.9%	17211.5	micro_morr_morr_two_moment_micro_
1.5%	9.607280	9.604971	50.4%	1320.0	transform_fourtospec_
1.0%	6.372858	6.488201	50.9%	519.2	rrtmg_sw_rad_rrtmg_sw_
0.7%	4.648023	3.265597	41.6%	2916.4	microphysics_runmicrophysics_
0.7%	4.411638	2.742619	38.7%	964.0	radsw_rad_rrtmg_sw_
0.7%	4.403092	0.139955	3.1%	38063.3	semilagrangian_interpcublin3d_
0.6%	4.034586	0.868501	17.9%	658.0	communications_exchange_winds_
0.6%	3.925277	0.078770	2.0%	1.0	cloudopticalproperty_ice_lookup_
0.5%	3.231306	0.278274	8.0%	1.0	exit
0.5%	2.967143	0.488630	14.3%	321.1	rrtmg_lw_rad_rrtmg_lw_
0.4%	2.535965	6.649031	73.0%	930629.2	micro_morr_rayleigh_soak_wetgraupel_
0.3%	2.009093	1.933843	49.5%	639869.1	rrtmg_sw_vrtqdr_vrtqdr_sw_
0.3%	1.735494	0.114465	6.2%	2910.7	physicsdriver_physics_
0.3%	1.729219	1.507652	47.0%	519.2	mcica_subcol_gen_sw_mcica_subcol_sw_
0.3%	1.709582	1.684517	50.0%	639869.1	rrtmg_sw_reftra_reftra_sw_
0.2%	1.565776	0.072518	4.5%	321.1	radlw_rad_rrtmg_lw_
0.2%	1.468049	0.469894	24.5%	1322.0	transform_withdrawgrid_
0.2%	1.206873	0.146309	10.9%	2916.4	convection_cumulus_driver_
0.2%	1.203978	1.128092	48.8%	519.2	mcica_subcol_gen_sw_generate_stochastic_clouds_sw

## Melhorar a estrutura do modelo MCGA-CPTEC/INPE

```
Assimilation
├── GridDump.f90
├── SpecDump.f90
├── SpecDump.f90.in
Diagnostics
├── Diagnostics.f90
├── GridHistory.f90
├── mpif.h
Documentation
├── HISTORICO
├── README_DIAGNOSTIC.txt
├── README_INSTALL.txt
DummyMPI
├── include
│   ├── mpi.h
│   ├── mpif.h
│   ├── mpp.h
│   └── wtime.h
├── Makefile
├── Makefile.common
├── Makefile.cygwin_gnu -> ../makefiles/Makefile.cygwin_gnu
├── Makefile.linux_gnu -> ../makefiles/Makefile.linux_gnu
├── mpi_dummy.c
├── mpi_dummyc.c
├── mpi_dummyf.f
├── wtime.c
├── wtime.f
Dynamics
├── GridDynamics.f90
├── mpif.h
├── SemiLagrangian.f90
├── SpecDynamics.f90
├── TimeStep.f90
Fields
├── FieldsDynamics.f90
├── FieldsPhysics.f90
Initialization
├── Init.f90
├── mpif.h
├── NonLinearNMI.f90
├── Options.f90
InputOutput
├── InputOutput.f90
├── IOLowLevel.f90
Main
├── Atmos_Model.f90
├── Model.f90
├── mpif.h
├── Makefile
```

```
Makefile.common
Makefile.in
makefiles
├── CVS
│   ├── Entries
│   ├── Repository
│   └── Root
├── Makefile.cray_cray
├── Makefile.cray_cray32
├── Makefile.cray_craydbg
├── Makefile.cygwin_gnu
├── Makefile.cygwin_gnu_dbx
├── Makefile.gnu_cray
├── Makefile.gnu_cray_dbx
├── Makefile.gnu_cray2
├── Makefile.linux_gnu
├── Makefile.linux_intel
├── Makefile.linux_intel_dbx
├── Makefile.pgi_cray
├── Makefile.pgi_cray_craydbg
├── Makefile.sx6
├── Makefile.tupay
├── Makefile.una_gnu
├── Makefile.una_intel
├── mpif.h(6%)
Parallelism
├── Communications.f90
├── mpif.h
├── Parallelism.f90
├── Sizes.f90
```



## Physics

### BoundaryLayer

- HostlagBoville
  - Pbl\_HostlagBoville.f90
- MellorYamada0
  - Pbl\_MellorYamada0.f90
- MellorYamada1
  - Pbl\_MellorYamada1.f90
- PBL\_Entrain.f90
- PblDriver.f90

### Convection

- CloudFraction
  - UKMET
- Convection.f90
- DeepConvection
  - DeepConvection.f90
- Grell
  - Cu\_Grellens.f90
  - Cu\_Grellens\_CPTEC.f90
- GrellEns
  - Cu\_Grellens.f90
- GrellEns\_New
  - Cu\_Grellens.f90
  - Cu\_Grellens.f90-NEW-CLOSURES-17-18-19-20\_JULY27-2013
  - Cu\_Grellens.f90-NEW-CLOSURES-17-18-19-20\_JULY27-2013\_PK
- GrellEns\_OLD
  - Cu\_Grellens.f90
- GrellEnsCPTEC
  - Cu\_Grellens\_CPTEC.f90
- Kuo
  - Cu\_Kuo1cl.f90
- Ras
  - Cu\_RAS.f90
- Zhang
  - Cu\_ZhangMcFarlane.f90
- LrgSc1
  - Prec\_LrgSc1.f90

## MicroPhysics

### Ferrier

- Micro\_Ferrier.f90
- Micro\_Ferrier.f90\_ok

### Hack

- Micro\_Hack.f90

### HWRF

- ETAMPNEW\_DATA
- Micro\_HWRF.f90

### LrgSc1

- Micro\_LrgSc1.f90

### MicroPhysics.f90

### MORRISON

- Micro\_MORR.f90

### MORRISON\_AERO

- Micro\_HugMorr.f90
- Micro\_HugMorr.f90\_orig
- Micro\_HugMorr.f90~
- Micro\_MORR.f90
- micro\_morr.mod
- Micro\_MORR.o

### UKME

- Micro\_UKME.f90
- micro\_ukme.mod
- Micro\_UKME.x
- StratCloudFraction.f90

### ShallowConvection

### JHack

- Shall\_JHack.f90

### ShallowConvection.f90

### Souza

- Shall\_Souza.f90

### Tied

- Shall\_Tied.f90

### UWShCu

- Shall\_UWShCu.f90


```

GravityWaveDrag
├── Alpert
│   └── GwddSchemeAlpert.f90
├── CAM
│   └── GwddSchemeCAM.f90
├── ECMWF
│   └── Gwdd_ECMWF.f90
├── GwddDriver.f90
├── UKMET
│   └── GwddSchemeCPTEC.f90
└── GwddSchemeUSSF.f90
PhysicsDriver.f90

Radiation
├── Clirad
│   ├── cah.data90
│   ├── coa.data90
│   ├── mcai.data90
│   └── Rad_Clirad.f90
├── CloudOpticalProperty.f90
├── CloudOpticalProperty.f90~
├── COLA
│   └── Rad_COLA.f90
├── RadiationDriver.f90
├── UKMET
│   ├── Rad_UKMO.f90
│   ├── sp_lw_hadgem1_3
│   └── sp_sw_hadgem1_3r
└── Surface
    └── Land
        ├── IBIS2.6
        │   ├── Sfc_Ibis_BioGeoChemistry.f90
        │   ├── Sfc_Ibis_BioGeoPhysics.f90
        │   ├── Sfc_Ibis_Fields.f90
        │   └── Sfc_Ibis_Interface.f90
        ├── SiB2.5
        │   └── Sfc_SiB2.f90
        ├── SSiB
        │   └── Sfc_SSiB.f90
        └── SeaFlux
            ├── SeaFlux_COLA
            │   ├── Sfc_SeaFlux_COLA_Model.f90
            │   └── Sfc_SeaFlux_COLA_Model.f90~
            ├── SeaFlux_UKME
            │   └── Sfc_SeaFlux_UKME_Model.f90
            ├── SeaFlux_WGFS
            │   └── Sfc_SeaFlux_WGFS_Model.f90
            ├── SeaIceFlux_WRF
            │   └── Sfc_SeaIceFlux_WRF_Model.f90
            ├── Sfc_SeaFlux_Interface.f90
            ├── SLAB
            │   └── SlabOceanModel.f90
            └── SeaFlux_WGFS
                └── Sfc_SeaFlux_WGFS_Model.f90
    
```

```

scripts
├── MODELIN
│   ├── run%
│   ├── run_multi_SX6
│   ├── run_multi_TX7
│   ├── run_multi_UNA
│   ├── runModel
│   ├── runModel.SX6
│   └── runModel.XT6
├── Transform
│   ├── mpif.h
│   └── Transform.f90
├── tree_dir
└── Utils
    ├── Constants.f90
    ├── Constants.f90.in
    ├── mpif.h
    ├── PhysicalFunctions.f90
    ├── Utils.f90
    └── Watches.f90
    
```

- 
- **Reestruturar o código do MCGA em função do código de aerossóis**
  - **Otimizar alguns módulos da física para melhorar o desempenho do modelo**
  - **Melhorar a Documentação do MCGA-CPTEC/INPE**
  - **Adotar uma padronização de codificação e documentação do código**